

九州大学

教授 山崎徳也

助手 ○彦坂 照

大学院 崎山 駿

[緒言] ハリやラーメンの曲げ振動を取扱うに当って、振動方程式を撓角法の形式に書き変えて解を求める振動撓角法によれば、微分方程式を直接解くよりも簡明な取扱いが可能であり、等断面直線材については、すでにその実用化がはかられている⁽¹⁾。また先に著者3の一人は振動捩り角式を併用して立体ラーメンの振動解析を行った⁽²⁾。本文はさるに構造物によく見られるハンチを考慮した振動撓角式および振動捩り角式を誘導し、簡単な計算例によって構造物の固有振動数に及ぼすハンチの影響を考察したものである。

[I] 等断面直線材の振動撓角式および振動捩り角式

ハンチは通常よく用いられる直線ハンチを取り上げ、その寸法を図-1のごとく定める。梁の等断面部分の梁高、断面二次モーメント、断面積および断面の捩り係数をそれぞれ h_0 , I_0 , A_0 , J_0 とし、材料のヤング率 E 、せん断弾性係数 G および単位体積当たりの質量 P は全スパンにわたって一定とすれば、図-1に示す記号を用いて、スパン \bar{l} の等断面材の振動撓角式および振動捩り角式が次の形式で表わされる。係数 k_1 , k_2^T 等の内容については別報⁽²⁾または文献^{(1), (3)}等を参照されたい。

振動撓角式

$$\begin{aligned} m_A &= E K_0 \left(k_1 \Theta_A + k_2 \Theta_B + k_3 \frac{\Delta A}{\bar{l}} + k_4 \left(-\frac{\Delta B}{\bar{l}} \right) \right) \\ m_B &= E K_0 \left(k_1 \Theta_A + k_2 \Theta_B + k_4 \frac{\Delta B}{\bar{l}} + k_3 \left(-\frac{\Delta A}{\bar{l}} \right) \right) \\ S_A &= -E K_0 \frac{1}{\bar{l}} \left(k_3 \Theta_A + k_4 \Theta_B + k_5 \frac{\Delta A}{\bar{l}} + k_6 \left(-\frac{\Delta B}{\bar{l}} \right) \right) \\ S_B &= -E K_0 \frac{1}{\bar{l}} \left(k_4 \Theta_A + k_3 \Theta_B + k_6 \frac{\Delta A}{\bar{l}} + k_5 \left(-\frac{\Delta B}{\bar{l}} \right) \right) \end{aligned} \quad \cdots \cdots \cdots \quad (1)_a$$

[II] ハンチを考慮した振動撓角式

$$\text{振動の微分方程式 } PA \frac{d^2y}{dt^2} + \frac{a^2}{\bar{l}^2} \left(EI \frac{dy}{dx^2} \right) = 0$$

において、 $y = y(x) e^{i\omega t}$ とき、 $y(x)$ のかわりに y と書けば、

$$\frac{a^2}{\bar{l}^2} \left(EI \frac{dy}{dx^2} \right) - PA \omega^2 y = 0 \quad \cdots \cdots \cdots \quad (2)$$

いま A側のハンチを考え、図-2のごとく座標軸を定めれば

$R_x = R_0 (1 + \frac{\alpha}{\bar{l}} x)$ となる。ここで $1 + \frac{\alpha}{\bar{l}} x = t$ の置換を行い、さるにハンチ部においては断面積は梁高 h 、断面二次モーメントは梁高の3乗に比例して変化すると仮定して式(2)を t に関する微分方程式に変換すれば、次式を得る。

$$\frac{dy}{dt} + \frac{6}{t} \frac{d^2y}{dt^3} + \frac{6}{t^2} \frac{d^3y}{dt^4} - \left(\frac{\lambda}{\alpha} \right)^4 (mL)^4 \frac{y}{t^2} = 0 \quad \cdots \cdots \cdots \quad (3) \quad \text{ここで } m = \sqrt{\frac{PA_0 \omega^2}{EI_0}}$$

$x=0$ すなわち $t=1$ における境界条件として次の関係式が成立する。

$$(y)_{t=1} = \Delta_A, \quad \left(\frac{dy}{dt}\right)_{t=1} = -\frac{\lambda \bar{l}}{\alpha} \Theta_A, \quad \left(\frac{d^2y}{dt^2}\right)_{t=1} = -\left(\frac{\lambda}{\alpha}\right)^2 \frac{\bar{l}}{EK_0} m_A, \quad \left(\frac{d^3y}{dt^3}\right)_{t=1} = \left(\frac{\lambda}{\alpha}\right)^3 \frac{\bar{l}}{EK_0} S_A, \quad t=1 \quad K_0 = \frac{I}{\bar{l}}$$

これらを4個の初期条件として式(3)を逐次近似法によって解けば、次の形式で第n次近似解が得られる。

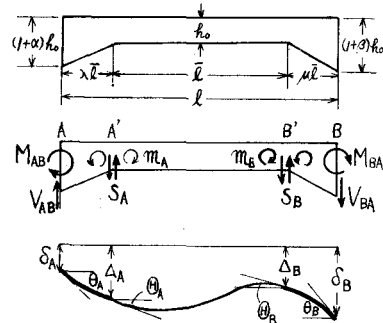


図-1

振動捩り角式

$$\begin{aligned} m_A^T &= G J_0 \frac{1}{\bar{l}} \left(k_1^T \Theta_A^T + k_2^T \Theta_B^T \right) \\ m_B^T &= G J_0 \frac{1}{\bar{l}} \left(k_2^T \Theta_A^T + k_1^T \Theta_B^T \right) \end{aligned} \quad \cdots \cdots \cdots \quad (1)_b$$

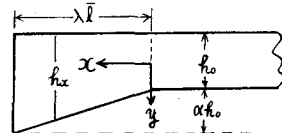


図-2

$$\left. \begin{aligned} y &= f_{11}(t) \Delta_A + f_{12}(t) \Theta_A + f_{13}(t) \frac{\bar{L}}{E K_0} m_A + f_{14}(t) \frac{\bar{L}^2}{E K_0} S_A \\ \frac{dy}{dt} &= f_{21}(t) \Delta_A + f_{22}(t) \Theta_A + f_{23}(t) \frac{\bar{L}}{E K_0} m_A + f_{24}(t) \frac{\bar{L}^2}{E K_0} S_A \\ \frac{d^2y}{dt^2} &= f_{31}(t) \Delta_A + f_{32}(t) \Theta_A + f_{33}(t) \frac{\bar{L}}{E K_0} m_A + f_{34}(t) \frac{\bar{L}^2}{E K_0} S_A \\ \frac{d^3y}{dt^3} &= f_{41}(t) \Delta_A + f_{42}(t) \Theta_A + f_{43}(t) \frac{\bar{L}}{E K_0} m_A + f_{44}(t) \frac{\bar{L}^2}{E K_0} S_A \end{aligned} \right\} \quad (4)$$

$\therefore i = f_{ij}(t) \quad (i, j = 1, 2, 3, 4)$ は t の函数である。

一方材端 A において次の関係式が成立する。

$$\delta_A = (y)_{t=H_0}, \quad \theta_A = -\left(\frac{\alpha}{\lambda}\right)\left(\frac{dy}{dt}\right)_{t=H_0}, \quad \frac{M_{AB}}{EI_A} = -\left(\frac{\alpha}{\lambda}\right)^2\left(\frac{d^2y}{dt^2}\right)_{t=H_0}, \quad \frac{V_{AB}}{EI_A} = \left(\frac{\alpha}{\lambda}\right)^3\left(\frac{d^3y}{dt^3}\right)_{t=H_0}$$

これらの右辺に式(4)を代入して整理すれば結局次式となる。

$$\left. \begin{aligned} \frac{\delta_A}{\bar{L}} &= \alpha_{11} \frac{\Delta_A}{\bar{L}} + \alpha_{12} \Theta_A + \alpha_{13} \frac{1}{EK_0} m_A + \alpha_{14} \frac{\bar{L}^2}{EK_0} S_A \\ \theta_A &= \alpha_{21} \frac{\Delta_A}{\bar{L}} + \alpha_{22} \Theta_A + \alpha_{23} \frac{1}{EK_0} m_A + \alpha_{24} \frac{\bar{L}^2}{EK_0} S_A \\ \frac{\bar{L}}{EI_A} M_{AB} &= \alpha_{31} \frac{\Delta_A}{\bar{L}} + \alpha_{32} \Theta_A + \alpha_{33} \frac{1}{EK_0} m_A + \alpha_{34} \frac{\bar{L}^2}{EK_0} S_A \\ \frac{\bar{L}^2}{EI_A} V_{AB} &= \alpha_{41} \frac{\Delta_A}{\bar{L}} + \alpha_{42} \Theta_A + \alpha_{43} \frac{1}{EK_0} m_A + \alpha_{44} \frac{\bar{L}^2}{EK_0} S_A \end{aligned} \right\} \quad (5)$$

式(4)の第3近似解を求めれば係数 α_{ij} は次のとく得られる。

$$\begin{aligned} \alpha_{11} &= 1, \quad \alpha_{12} = -\lambda, \quad \alpha_{13} = -\frac{1}{2}\lambda^2, \quad \alpha_{14} = \frac{1}{6}\lambda^3 \\ \alpha_{21} &= (\bar{L})^4 \left\{ \left(1+\alpha\right) \log(1+\alpha) - \alpha - \frac{1}{2}\alpha^2 \right\}, \quad \alpha_{22} = 1, \quad \alpha_{23} = \left(\frac{\lambda}{\alpha}\right) \left\{ 6(1+\alpha) \log(1+\alpha) - 5\alpha - 3\alpha^2 \right\}, \\ \alpha_{24} &= \left(\frac{\lambda}{\alpha}\right)^2 \left\{ 3(1+\alpha)^2 \log(1+\alpha) - 5\alpha^2 - 3\alpha \right\}, \quad \alpha_{31} = (\bar{L})^4 \left\{ \left(6\alpha+13\right) \log(1+\alpha) - 13\alpha \right\}, \\ \alpha_{32} &= (\bar{L})^4 \left\{ (\alpha+2) \log(1+\alpha) - 2\alpha \right\}, \quad \alpha_{33} = 1 + 6 \left\{ (6\alpha+13) \log(1+\alpha) - 13\alpha \right\}, \\ \alpha_{34} &= 6 \left(\frac{\lambda}{\alpha}\right) \left[(8\alpha+9) \log(1+\alpha) - 3(1+\alpha) \left\{ \log(1+\alpha)^2 - \frac{55}{6}\alpha \right\} \right] \\ \alpha_{41} &= (\bar{L})^4 \left(\frac{\lambda}{\alpha}\right) \left[\frac{55\alpha}{1+\alpha} - (48 + \frac{6}{1+\alpha}) \log(1+\alpha) + 18 \left\{ \log(1+\alpha)^2 \right\} \right] \\ \alpha_{42} &= (\bar{L})^4 \left(\frac{\lambda}{\alpha}\right)^2 \left[\frac{7\alpha}{1+\alpha} - 7 \log(1+\alpha) + 3 \left\{ \log(1+\alpha)^2 \right\} \right], \quad \alpha_{44} = 1 + 6 \left[\frac{13\alpha}{1+\alpha} - 14 \log(1+\alpha) + 9 \left\{ \log(1+\alpha)^2 - 6 \left\{ \log(1+\alpha)^3 \right\} \right\} \right] \\ \alpha_{43} &= (\bar{L})^4 \left(\frac{\lambda}{\alpha}\right)^2 \left\{ \log(1+\alpha) - \frac{\alpha(2+\alpha)}{2(1+\alpha)} \right\} + 6 \left(\frac{\alpha}{\lambda}\right) \left[\frac{55\alpha}{1+\alpha} - (48 + \frac{6}{1+\alpha}) \log(1+\alpha) + 18 \left\{ \log(1+\alpha)^2 \right\} \right] \end{aligned}$$

\therefore 3 1: 式(5)の右辺の M_{AB} , S_A : 式(1)a を代入すれば

$$\left. \begin{aligned} \frac{\delta_A}{\bar{L}} &= (\alpha_{11} + \alpha_{13} k_3 - \alpha_{14} k_5) \frac{\Delta_A}{\bar{L}} + (\alpha_{12} + \alpha_{13} k_1 - \alpha_{14} k_6) \Theta_A + (\alpha_{13} k_4 - \alpha_{14} k_6) \left(-\frac{\Delta_B}{\bar{L}}\right) + (\alpha_{13} k_2 - \alpha_{14} k_4) \Theta_B \\ \theta_A &= (\alpha_{21} + \alpha_{23} k_3 - \alpha_{24} k_5) \frac{\Delta_A}{\bar{L}} + (\alpha_{22} + \alpha_{23} k_1 - \alpha_{24} k_6) \Theta_A + (\alpha_{23} k_4 - \alpha_{24} k_6) \left(-\frac{\Delta_B}{\bar{L}}\right) + (\alpha_{23} k_2 - \alpha_{24} k_4) \Theta_B \\ \frac{\bar{L}}{EI_A} M_{AB} &= (\alpha_{31} + \alpha_{33} k_3 - \alpha_{34} k_5) \frac{\Delta_A}{\bar{L}} + (\alpha_{32} + \alpha_{33} k_1 - \alpha_{34} k_6) \Theta_A + (\alpha_{33} k_4 - \alpha_{34} k_6) \left(-\frac{\Delta_B}{\bar{L}}\right) + (\alpha_{33} k_2 - \alpha_{34} k_4) \Theta_B \\ \frac{\bar{L}^2}{EI_A} V_{AB} &= (\alpha_{41} + \alpha_{43} k_3 - \alpha_{44} k_5) \frac{\Delta_A}{\bar{L}} + (\alpha_{42} + \alpha_{43} k_1 - \alpha_{44} k_6) \Theta_A + (\alpha_{43} k_4 - \alpha_{44} k_6) \left(-\frac{\Delta_B}{\bar{L}}\right) + (\alpha_{43} k_2 - \alpha_{44} k_4) \Theta_B \end{aligned} \right\} \quad (6)$$

B側ハンチについても全く同様な式が成立し、各係数は α を β , 入を μ に変えればよい。

A, B両端に関して式(6)を次のよう簡略化して表わす。

$$\left. \begin{aligned} \frac{\delta_A}{\bar{L}} &= A_{11} \frac{\Delta_A}{\bar{L}} + A_{12} \Theta_A + A_{13} \left(-\frac{\Delta_B}{\bar{L}}\right) + A_{14} \Theta_B \\ \theta_A &= A_{21} \frac{\Delta_A}{\bar{L}} + A_{22} \Theta_A + A_{23} \left(-\frac{\Delta_B}{\bar{L}}\right) + A_{24} \Theta_B \\ \frac{\bar{L}}{EI_A} M_{AB} &= A_{31} \frac{\Delta_A}{\bar{L}} + A_{32} \Theta_A + A_{33} \left(-\frac{\Delta_B}{\bar{L}}\right) + A_{34} \Theta_B \\ \frac{\bar{L}^2}{EI_A} V_{AB} &= A_{41} \frac{\Delta_A}{\bar{L}} + A_{42} \Theta_A + A_{43} \left(-\frac{\Delta_B}{\bar{L}}\right) + A_{44} \Theta_B \end{aligned} \right\} \quad (7)_a$$

$$\left. \begin{aligned} -\frac{\delta_B}{\bar{L}} &= B_{11} \left(-\frac{\Delta_B}{\bar{L}}\right) + B_{12} \Theta_B + B_{13} \left(\frac{\Delta_A}{\bar{L}}\right) + B_{14} \Theta_A \\ \theta_B &= B_{21} \left(-\frac{\Delta_B}{\bar{L}}\right) + B_{22} \Theta_B + B_{23} \left(\frac{\Delta_A}{\bar{L}}\right) + B_{24} \Theta_A \\ \frac{\bar{L}}{EI_B} M_{BA} &= B_{31} \left(-\frac{\Delta_B}{\bar{L}}\right) + B_{32} \Theta_B + B_{33} \left(\frac{\Delta_A}{\bar{L}}\right) + B_{34} \Theta_A \\ \frac{\bar{L}^2}{EI_B} V_{BA} &= B_{41} \left(-\frac{\Delta_B}{\bar{L}}\right) + B_{42} \Theta_B + B_{43} \left(\frac{\Delta_A}{\bar{L}}\right) + B_{44} \Theta_A \end{aligned} \right\} \quad (7)_b$$

式(7)a, (7)b の上2式をそれぞれ取り出し, $\frac{\Delta_A}{\bar{L}}$, Θ_A , $-\frac{\Delta_B}{\bar{L}}$, Θ_B に関する4元連立1次方程式として解けば、Cramérの公式により次の式(8)のごとく解を得る。

式(8)中、D は係数の行列式で右記のとく内容を持ち、また α_{ij} は D の i 行 j 列の要素の余因数である。

$$D = \begin{vmatrix} A_{11} & A_{12} & A_{13} & A_{14} \\ A_{21} & A_{22} & A_{23} & A_{24} \\ B_{13} & B_{14} & B_{11} & B_{12} \\ B_{23} & B_{24} & B_{21} & B_{22} \end{vmatrix}$$

$$\left. \begin{array}{l} \frac{\Delta_A}{\bar{L}} = \frac{1}{D} (\alpha_{11} \frac{\delta_A}{\bar{L}} + \alpha_{21} \theta_A + \alpha_{31} (-\frac{\delta_B}{\bar{L}}) + \alpha_{41} \theta_B) \\ \Theta_A = \frac{1}{D} (\alpha_{12} \frac{\delta_A}{\bar{L}} + \alpha_{22} \theta_A + \alpha_{32} (-\frac{\delta_B}{\bar{L}}) + \alpha_{42} \theta_B) \\ -\frac{\Delta_B}{\bar{L}} = \frac{1}{D} (\alpha_{13} \frac{\delta_A}{\bar{L}} + \alpha_{23} \theta_A + \alpha_{33} (-\frac{\delta_B}{\bar{L}}) + \alpha_{43} \theta_B) \\ \Theta_B = \frac{1}{D} (\alpha_{14} \frac{\delta_A}{\bar{L}} + \alpha_{24} \theta_A + \alpha_{34} (-\frac{\delta_B}{\bar{L}}) + \alpha_{44} \theta_B) \end{array} \right\} \quad \text{--- (8)}$$

式(8)を式(7)_a, (7)_bの下2式にそれぞれ代入して整理すれば次のごとく所要の振動方程式を得る。

$$\left. \begin{array}{l} M_{AB} = \frac{EI_A}{\bar{L}} (K_1 \theta_A + K_2 \theta_B + K_3 \frac{\delta_A}{\bar{L}} + K_4 (-\frac{\delta_B}{\bar{L}})) \\ M_{BA} = \frac{EI_B}{\bar{L}} (L_1 \theta_A + L_2 \theta_B + L_3 \frac{\delta_A}{\bar{L}} + L_4 (-\frac{\delta_B}{\bar{L}})) \\ \bar{L}V_{AB} = \frac{EI_A}{\bar{L}} (F_1 \theta_A + F_2 \theta_B + F_3 \frac{\delta_A}{\bar{L}} + F_4 (-\frac{\delta_B}{\bar{L}})) \\ \bar{L}V_{BA} = \frac{EI_B}{\bar{L}} (G_1 \theta_A + G_2 \theta_B + G_3 \frac{\delta_A}{\bar{L}} + G_4 (-\frac{\delta_B}{\bar{L}})) \end{array} \right\} \quad \text{--- (9)}$$

ハンチが左右対称の場合には式(9)は次のようになる。

$$\left. \begin{array}{l} M_{AB} = \frac{EI_A}{\bar{L}} (K_1 \theta_A + K_2 \theta_B + K_3 \frac{\delta_A}{\bar{L}} + K_4 (-\frac{\delta_B}{\bar{L}})) \\ M_{BA} = \frac{EI_B}{\bar{L}} (K_2 \theta_A + K_1 \theta_B + K_4 \frac{\delta_A}{\bar{L}} + K_3 (-\frac{\delta_B}{\bar{L}})) \\ \bar{L}V_{AB} = \frac{EI_A}{\bar{L}} (F_1 \theta_A + F_2 \theta_B + F_3 \frac{\delta_A}{\bar{L}} + F_4 (-\frac{\delta_B}{\bar{L}})) \\ \bar{L}V_{BA} = \frac{EI_B}{\bar{L}} (F_2 \theta_A + F_1 \theta_B + F_4 \frac{\delta_A}{\bar{L}} + F_3 (-\frac{\delta_B}{\bar{L}})) \end{array} \right\} \quad \text{--- (10)}$$

ここの K , L , F , G 等の内容を Matrix 表示すれば次のようである。

$$\left(\begin{array}{c|cc} K_1 & F_1 \\ \hline K_2 & F_2 \\ K_3 & F_3 \\ K_4 & F_4 \end{array} \right) = \left(\begin{array}{cccc} \alpha_{11} & \alpha_{21} & \alpha_{31} & \alpha_{41} \\ \alpha_{21} & \alpha_{41} & \alpha_{12} & \alpha_{32} \\ \alpha_{31} & \alpha_{12} & \alpha_{22} & \alpha_{42} \\ \alpha_{41} & \alpha_{32} & \alpha_{42} & \alpha_{11} \end{array} \right) \left(\begin{array}{cc} A_{11} & A_{14} \\ A_{21} & A_{24} \\ A_{31} & A_{34} \\ A_{41} & A_{44} \end{array} \right)$$

$$\left(\begin{array}{c|cc} L_1 & G_1 \\ \hline L_2 & G_2 \\ L_3 & G_3 \\ L_4 & G_4 \end{array} \right) = \left(\begin{array}{cccc} \alpha_{22} & \alpha_{24} & \alpha_{32} & \alpha_{34} \\ \alpha_{42} & \alpha_{44} & \alpha_{13} & \alpha_{14} \\ \alpha_{13} & \alpha_{14} & \alpha_{11} & \alpha_{12} \\ \alpha_{33} & \alpha_{34} & \alpha_{31} & \alpha_{32} \end{array} \right) \left(\begin{array}{cc} B_{11} & B_{14} \\ B_{21} & B_{24} \\ B_{31} & B_{34} \\ B_{41} & B_{44} \end{array} \right)$$

もしハンチがない場合、 $\lambda, \mu, \alpha, \beta \rightarrow 0$ とすれば式(9)は式(11)に当然一致する。

(計算例 1)

左右対称のハンチを有する両端固定バリの振動方程式は、式(7)_a, (7)_bから

$$\left| \begin{array}{cccc} A_{11} & A_{12} & A_{13} & A_{14} \\ A_{21} & A_{22} & A_{23} & A_{24} \\ B_{13} & B_{14} & B_{21} & B_{22} \\ B_{23} & B_{24} & B_{31} & B_{32} \end{array} \right| = 0 \quad \text{--- (11)}$$

種々の α , λ の値に対して式(11)の根を求めて基本固有振動数を計算し、ハンチの効果を吟味したものが図-3 である。

(計算例 2) 図-4 のごとき 1 層 1 スパンの対称ラーメンが逆対称の横振動を行う場合の固有振動数を算定する。梁と柱が同一断面と仮定し

$$\left. \begin{array}{l} \text{節点方程式 } M_{AA} + M_{AB} = 0 \\ \text{層方程式 } V_{AB} - \frac{1}{2} PA_0 \bar{L} ((1+2\lambda) \omega^2 \Delta_A) = 0 \\ \text{振動方程式は } \left| \begin{array}{cc} (1+\alpha)^2 (K_1 + K_2 + L_2) & -(1+\alpha)^2 G_2 \\ (1+\alpha)^2 G_2 & -(1+\alpha)^2 G_4 + \frac{1}{2} ((1+2\lambda) \omega \bar{L})^4 \end{array} \right| = 0 \end{array} \right\} \quad \text{--- 式(9)を代入すれば}$$

一算例として $\lambda=1.0$, $\alpha=0.1$ に対して基本固有振動数を求めれば
 $\omega=10.39 \sqrt{\frac{EI_a}{PA_0 \bar{L}^2}}$ を得る。

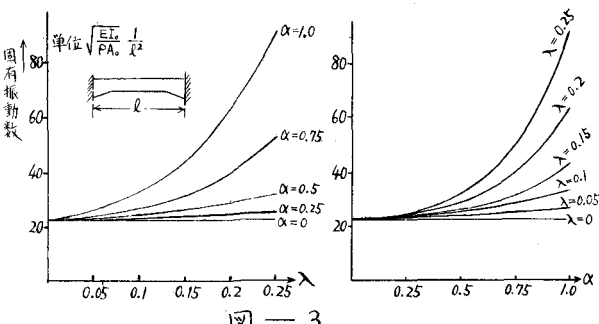


図-3

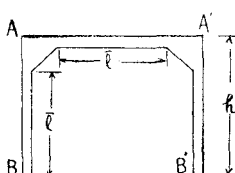


図-4

[III] ハンチを考慮した振動振り角式

巾 b 、高さ h なる矩形断面部材を考え、 b はハンチ部においても変化せざるのが直線変化すると仮定する。式(12)に対応する振り振動の微分方程式は次の通りである。

$$\frac{\partial}{\partial x} (GJ \frac{\partial v}{\partial x}) + PI_p \omega^2 v = 0 \quad \dots \dots \dots \quad (12)$$

振り係数 J は Saint-Venant の近似式によれば $J = \left\{ \frac{1}{3} - \frac{0.7}{3} \frac{b}{h} + 0.019 \left(\frac{b}{h}\right)^5 \right\} hb^3$ であるが、ハンチ部においては $\{ \}$ 内の第3項を無視して、 $b = b_0 t$ とおき、 $J = \frac{1}{3} (t - 0.7 \frac{b}{b_0}) b_0 b^3$ を用いる。

また $I_p = \frac{1}{12} (hb^3 + b^3 h) = \frac{1}{12} hb^3 t (1 + \frac{b_0^2}{b^2} t^2)$ である。これらを用ひ、さて $t = t - 0.7 = \xi$ とおけば式(12)は次のごとく ξ に関する微分方程式に変換される。

$$\frac{dv}{d\xi^2} + \frac{1}{3} \frac{dv}{d\xi} + k_A (\nu \ell)^2 (\xi^2 + n_1 \xi + n_2 + \frac{n_3}{3}) v = 0 \quad \dots \dots \dots \quad (13)$$

$$\nu = 1, \quad k_A = \frac{1}{4} \left(\frac{\lambda}{\alpha} \right)^2 \frac{h_0^2 J_0}{b^2 I_p}, \quad n_1 = 2.1 \frac{b}{b_0}, \quad n_2 = 2.47 \left(\frac{b}{b_0} \right)^2, \quad n_3 = 1.043 \left(\frac{b}{b_0} \right)^3, \quad \nu = \sqrt{\frac{PI_p \omega^2}{GJ_0}}$$

図-2の座標を用ひれば、 $x=0$ において $\xi = 1 - 0.7 \frac{b}{b_0}$ となり、この時 $v = \Theta_A^T$, $\frac{dv}{d\xi} = \frac{\lambda}{\alpha} \frac{\ell}{GJ_0} M_A^T$ なる関係式が成立する。これらを2個の初期条件として式(13)を逐次近似法で解く、振動撓角法の誘導に用ひたと全く同様の手法で、所要の振動振り角式が導かれる。結果のみ記せば、式(9), (10)に対応するものとしてそれを次の式(14), (15)を得る。

$$M_{AB}^T = GJ_A \frac{1}{\ell} (K_1^T \Theta_A^T + K_2^T \Theta_B^T) \quad \dots \dots \dots \quad (14)$$

$$M_{BA}^T = GJ_B \frac{1}{\ell} (L_1^T \Theta_A^T + L_2^T \Theta_B^T) \quad \dots \dots \dots$$

$$M_{AB}^T = GJ_A \frac{1}{\ell} (K_1^T \Theta_A^T + K_2^T \Theta_B^T) \quad \dots \dots \dots \quad (15)$$

$$M_{BA}^T = GJ_B \frac{1}{\ell} (L_1^T \Theta_A^T + L_2^T \Theta_B^T) \quad \dots \dots \dots$$

係数 K_i^T , L_i^T 等の内容を一括して示せば、式(5)の係数 a_{ij} に対応する a_{ij}^T , b_{ij}^T を用ひて、次のようである。

$$K_1^T = \frac{1}{D} (A_{21} B_{11} - A_{22} B_{12}), \quad K_2^T = \frac{1}{D} (A_{11} A_{22} - A_{12} A_{21})$$

$$L_1^T = \frac{1}{D} (B_{21} A_{11} - B_{22} A_{12}), \quad L_2^T = \frac{1}{D} (B_{11} B_{22} - B_{12} B_{21})$$

$$\text{さて } D = \begin{vmatrix} A_{11} & A_{12} \\ B_{12} & B_{11} \end{vmatrix}$$

$$A_{11} = a_{11}^T + a_{12}^T P_1^T, \quad A_{12} = a_{12}^T P_2^T, \quad A_{21} = a_{21}^T + a_{22}^T P_1^T, \quad A_{22} = a_{22}^T P_2^T$$

$$B_{11} = b_{11}^T + b_{12}^T P_1^T, \quad B_{12} = b_{12}^T P_2^T, \quad B_{21} = b_{21}^T + b_{22}^T P_1^T, \quad B_{22} = b_{22}^T P_2^T$$

(結言) 上に求めた振動撓角式および振動振り角式の諸係数の値を、種々の α , λ 等の値に対して計算し表化しておけば、任意の多層多スパンラーメンあるいは立体ラーメンのハンチを考慮した振動解析の実用化が可能である。本文に用ひた手法は、直線ハンチのみならずパラボラ等の曲線ハンチを有する部材に対しても適用でき、さて固有振動数の割合に強制変位の固有振動数を用ひれば、強制振動にも適用できる。

(参考文献)

- (1) 小野薰：“振動撓角法とその実用化” 建築学会大会論文集 昭和12年3月
- (2) 山崎, 木田, 毛利：“振動撓角法による立体直線材ラーメンの固有周期算定法” 土木学会第18回年次学術講演会概要 昭和38年5月
- (3) 梅村魁他：“建築学大系 19 “建築耐震論”” 彰国社